

計量経済 II : 宿題 5

村澤 康友

提出期限 : 2020 年 11 月 10 日

注意 : すべての質問に解答しなければ提出とは認めない。授業の HP の解答例を正確に再現すること（乱数は除く）。グループで取り組んでよいが、個別に提出すること。解答例をコピペしたり、他人の名前で提出した場合は、提出点を 0 点とし、再提出も認めない。すべての結果をワープロ文書に貼り付け、pdf ファイルに変換して提出すること。

- gretl のサンプル・データ nysewk は、ニューヨーク証券取引所の株価指数（NYSE 総合指数）の 1965 ~2006 年の週次データである。nysewk の対数階差系列の AR(1) モデルを以下の 3 つの方法で推定し、結果を比較しなさい。

- (a) OLS
- (b) 条件つき ML 法
- (c) 厳密な ML 法

※ gretl で ARIMA モデルを ML 推定する手順は以下の通り。

- (a) メニューから「モデル」→「時系列」→「ARIMA」を選択。
 - (b) 「従属変数」を 1 つ選択。
 - (c) 「説明変数（回帰変数）」は選択しない。
 - (d) 「AR 次数」「階差次数」「MA 次数」を入力。
 - (e) 推定手法を選択。
 - (f) その他は必要に応じて設定（基本的にデフォルト値のままでよい）。
 - (g) 「OK」をクリック。
- gretl のサンプル・データ sw-ch14 は、アメリカの失業率と消費者物価指数の 1959 年第 1 四半期～1999 年第 4 四半期の季節調整済みデータである。
 - (a) 失業率の時系列グラフとコレログラムを描きなさい。その上で AR(1), MA(1), ARMA(1,1) を厳密な ML 法で推定し、AIC・SBIC・HQC を比較して最適なモデルを検討しなさい。
 - (b) 消費者物価上昇率（対数階差）の時系列グラフとコレログラムを描きなさい。その上で AR(1), MA(1), ARMA(1,1) を厳密な ML 法で推定し、AIC・SBIC・HQC を比較して最適なモデルを検討しなさい。

解答例

1. OLS

モデル 1: 最小二乗法 (OLS), 観測: 1966-01-19–2006-07-26 ($T = 2115$)
 従属変数: ld_close

| | 係数 | 標準誤差 | t-ratio | p 値 |
|--------------------|------------|--------------------|---------|-----------|
| const | 0.00127461 | 0.000449131 | 2.838 | 0.0046 |
| ld_close_1 | 0.0119651 | 0.0217540 | 0.5500 | 0.5824 |
| Mean dependent var | 0.001290 | S.D. dependent var | | 0.020612 |
| Sum squared resid | 0.897978 | S.E. of regression | | 0.020615 |
| R^2 | 0.000143 | Adjusted R^2 | | -0.000330 |
| $F(1, 2113)$ | 0.302520 | P-value(F) | | 0.582365 |
| Log-likelihood | 5209.819 | Akaike criterion | | -10415.64 |
| Schwarz criterion | -10404.33 | Hannan–Quinn | | -10411.50 |
| $\hat{\rho}$ | -0.000104 | Durbin–Watson | | 2.000055 |

条件つき ML 法

モデル 2: ARMA, 観測: 1966-01-19–2006-07-26 ($T = 2115$)
 従属変数: ld_close

| | 係数 | 標準誤差 | z | p 値 |
|---------------------|------------|---------------------|---------|-----------|
| const | 0.00127461 | 0.000449131 | 2.838 | 0.0045 |
| ϕ_1 | 0.0119651 | 0.0217540 | 0.5500 | 0.5823 |
| Mean dependent var | 0.001290 | S.D. dependent var | | 0.020612 |
| Mean of innovations | 0.000000 | S.D. of innovations | | 0.020615 |
| R^2 | 0.000143 | Adjusted R^2 | | 0.000143 |
| Log-likelihood | 5209.819 | Akaike criterion | | -10415.64 |
| Schwarz criterion | -10404.33 | Hannan–Quinn | | -10411.50 |
| | Real | Imaginary | Modulus | 頻度 |
| AR | | | | |
| Root | 1 | 83.5765 | 0.0000 | 83.5765 |
| | | | | 0.0000 |

厳密な ML 法

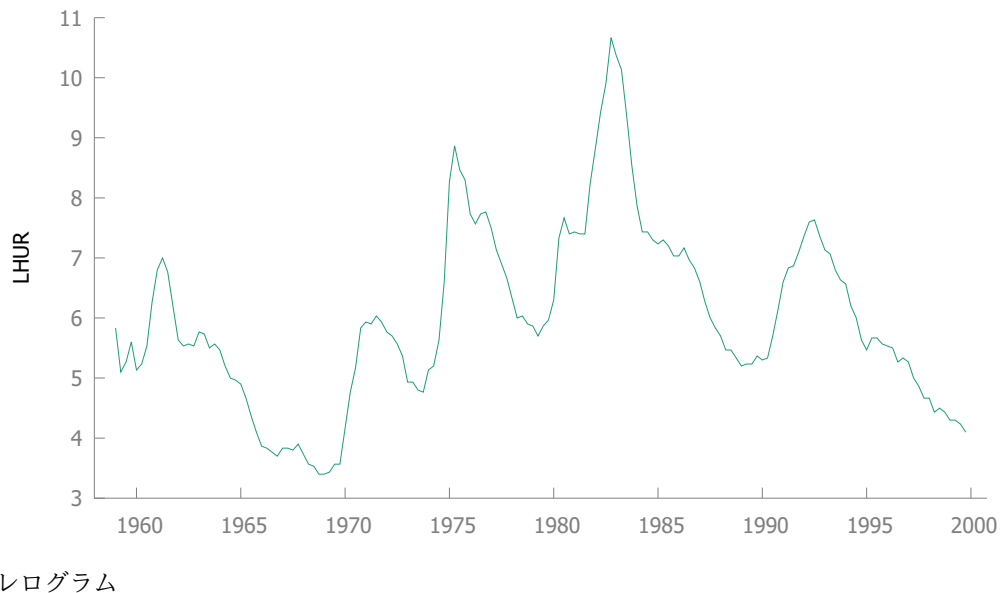
モデル 3: ARMA, 観測: 1966-01-12–2006-07-26 ($T = 2116$)

従属変数: ld_close

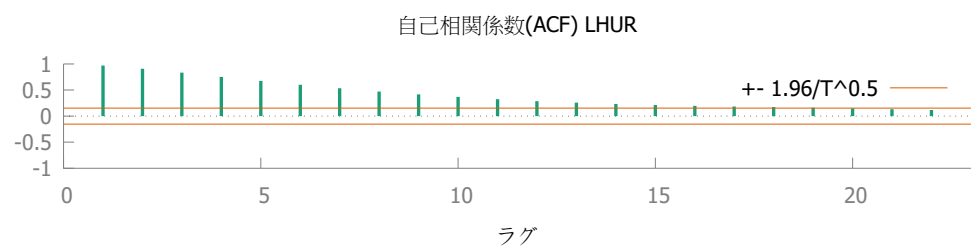
標準誤差はヘッシャン (Hessian) に基づく

| | 係数 | 標準誤差 | z | p 値 |
|---------------------|------------|---------------------|---------|----------------|
| const | 0.00129144 | 0.000453254 | 2.849 | 0.0044 |
| ϕ_1 | 0.0119596 | 0.0217337 | 0.5503 | 0.5821 |
| Mean dependent var | 0.001291 | S.D. dependent var | | 0.020607 |
| Mean of innovations | -1.60e-08 | S.D. of innovations | | 0.020600 |
| R^2 | 0.000143 | Adjusted R^2 | | 0.000143 |
| Log-likelihood | 5212.773 | Akaike criterion | | -10419.55 |
| Schwarz criterion | -10402.57 | Hannan–Quinn | | -10413.33 |
| | Real | Imaginary | Modulus | 頻度 |
| AR | | | | |
| Root | 1 | 83.6152 | 0.0000 | 83.6152 0.0000 |

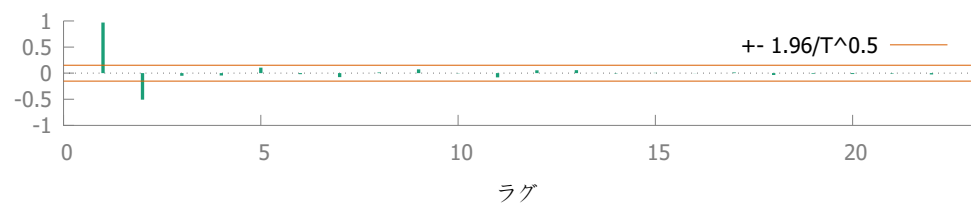
2. (a) 時系列グラフ



コレログラム



偏自己相関係数(PACF) LHUR



AR(1)

モデル 1: ARMA, 観測: 1959:1–1999:4 ($T = 164$)

従属変数: LHUR

標準誤差はヘッシャン (Hessian) に基づく

| | 係数 | 標準誤差 | z | p 値 |
|---------------------|-----------|---------------------|----------|--------|
| const | 5.67938 | 0.818668 | 6.937 | 0.0000 |
| ϕ_1 | 0.973209 | 0.0159418 | 61.05 | 0.0000 |
| Mean dependent var | 5.995122 | S.D. dependent var | 1.480716 | |
| Mean of innovations | -0.001636 | S.D. of innovations | 0.332871 | |
| R^2 | 0.949189 | Adjusted R^2 | 0.949189 | |
| Log-likelihood | -53.77605 | Akaike criterion | 113.5521 | |
| Schwarz criterion | 122.8517 | Hannan–Quinn | 117.3274 | |
| | Real | Imaginary | Modulus | 頻度 |
| AR | | | | |
| Root | 1 | 1.0275 | 0.0000 | 1.0275 |
| | | | | 0.0000 |

MA(1)

モデル 2: ARMA, 観測: 1959:1–1999:4 ($T = 164$)

従属変数: LHUR

標準誤差はヘッシャン (Hessian) に基づく

| | 係数 | 標準誤差 | z | p 値 |
|---------------------|-----------|---------------------|----------|--------|
| const | 5.98831 | 0.119271 | 50.21 | 0.0000 |
| θ_1 | 0.955852 | 0.0180141 | 53.06 | 0.0000 |
| Mean dependent var | 5.995122 | S.D. dependent var | 1.480716 | |
| Mean of innovations | 0.000439 | S.D. of innovations | 0.783272 | |
| R^2 | 0.931013 | Adjusted R^2 | 0.931013 | |
| Log-likelihood | -193.8694 | Akaike criterion | 393.7388 | |
| Schwarz criterion | 403.0384 | Hannan–Quinn | 397.5141 | |
| | Real | Imaginary | Modulus | 頻度 |
| MA | | | | |
| Root | 1 | -1.0462 | 0.0000 | 1.0462 |
| | | | | 0.5000 |

ARMA(1,1)

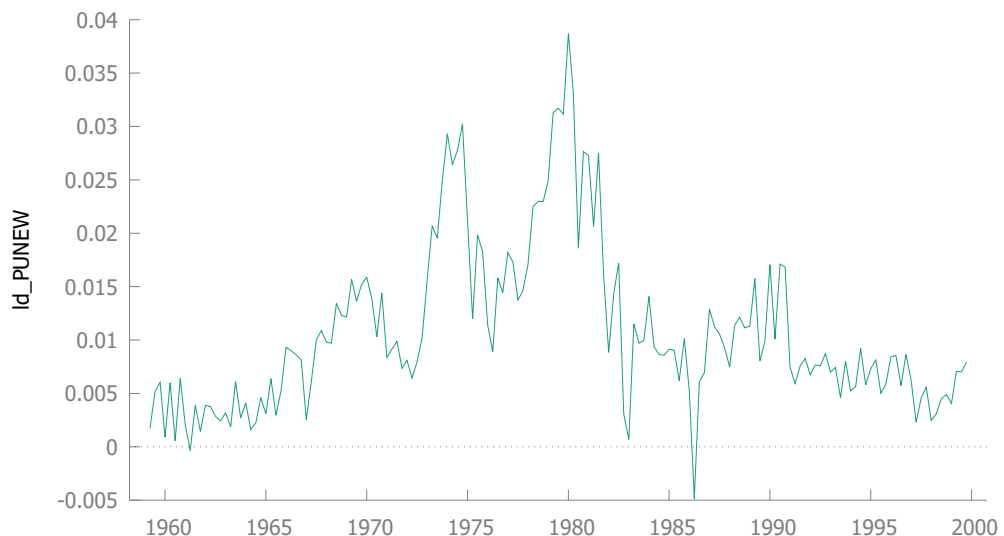
モデル 3: ARMA, 観測: 1959:1–1999:4 ($T = 164$)

従属変数: LHUR

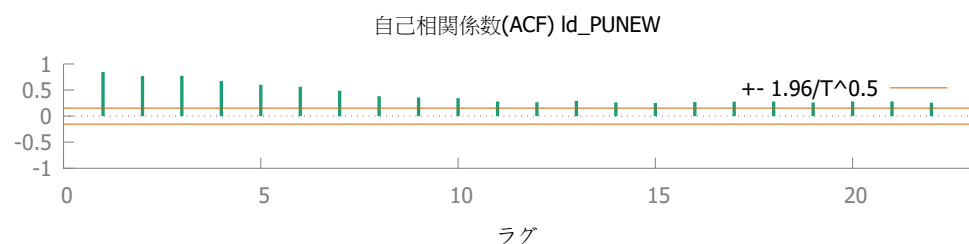
標準誤差はヘッシアン (Hessian) に基づく

| | 係数 | 標準誤差 | z | p 値 |
|---------------------|-----------|---------------------|----------|---------------|
| const | 5.81061 | 0.684237 | 8.492 | 0.0000 |
| ϕ_1 | 0.955556 | 0.0217151 | 44.00 | 0.0000 |
| θ_1 | 0.596252 | 0.0589902 | 10.11 | 0.0000 |
| Mean dependent var | 5.995122 | S.D. dependent var | 1.480716 | |
| Mean of innovations | -0.001326 | S.D. of innovations | 0.273016 | |
| R^2 | 0.965811 | Adjusted R^2 | 0.965600 | |
| Log-likelihood | -21.68881 | Akaike criterion | 51.37763 | |
| Schwarz criterion | 63.77709 | Hannan–Quinn | 56.41134 | |
| | Real | Imaginary | Modulus | 頻度 |
| AR | | | | |
| Root | 1 | 1.0465 | 0.0000 | 1.0465 0.0000 |
| MA | | | | |
| Root | 1 | -1.6771 | 0.0000 | 1.6771 0.5000 |

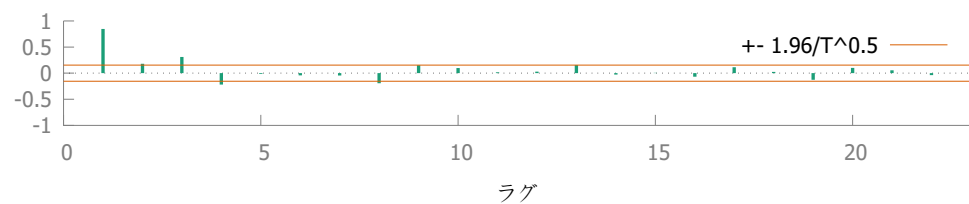
(b) 時系列グラフ



コレログラム



偏自己相関係数(PACF) Id_PUNEW



AR(1)

モデル 1: ARMA, 観測: 1959:2–1999:4 ($T = 163$)

従属変数: ld_PUNEW

標準誤差はヘッシアン (Hessian) に基づく

| | 係数 | 標準誤差 | z | p 値 |
|---------------------|-----------|---------------------|---------|-----------|
| const | 0.0104107 | 0.00204969 | 5.079 | 0.0000 |
| ϕ_1 | 0.849803 | 0.0405607 | 20.95 | 0.0000 |
| Mean dependent var | 0.010798 | S.D. dependent var | | 0.007751 |
| Mean of innovations | 0.000070 | S.D. of innovations | | 0.004058 |
| R^2 | 0.724296 | Adjusted R^2 | | 0.724296 |
| Log-likelihood | 665.7168 | Akaike criterion | | -1325.434 |
| Schwarz criterion | -1316.152 | Hannan–Quinn | | -1321.666 |
| | Real | Imaginary | Modulus | 頻度 |
| AR | | | | |
| Root | 1 | 1.1767 | 0.0000 | 1.1767 |
| | | | | 0.0000 |

MA(1)

モデル 2: ARMA, 観測: 1959:2–1999:4 ($T = 163$)

従属変数: ld_PUNEW

標準誤差はヘッシアン (Hessian) に基づく

| | 係数 | 標準誤差 | z | p 値 |
|---------------------|-----------|---------------------|---------|-----------|
| const | 0.0107886 | 0.000735500 | 14.67 | 0.0000 |
| θ_1 | 0.807361 | 0.0434532 | 18.58 | 0.0000 |
| Mean dependent var | 0.010798 | S.D. dependent var | | 0.007751 |
| Mean of innovations | 8.85e-06 | S.D. of innovations | | 0.005210 |
| R^2 | 0.598762 | Adjusted R^2 | | 0.598762 |
| Log-likelihood | 625.1158 | Akaike criterion | | -1244.232 |
| Schwarz criterion | -1234.950 | Hannan–Quinn | | -1240.464 |
| | Real | Imaginary | Modulus | 頻度 |
| MA | | | | |
| Root | 1 | -1.2386 | 0.0000 | 1.2386 |
| | | | | 0.5000 |

ARMA(1,1)

モデル 3: ARMA, 観測: 1959:2–1999:4 ($T = 163$)

従属変数: ld_PUNEW

標準誤差はヘッシアン (Hessian) に基づく

| | 係数 | 標準誤差 | z | p 値 |
|---------------------|-----------|---------------------|---------|---------------|
| const | 0.0100189 | 0.00283639 | 3.532 | 0.0004 |
| ϕ_1 | 0.931392 | 0.0313306 | 29.73 | 0.0000 |
| θ_1 | -0.324318 | 0.0837684 | -3.872 | 0.0001 |
| Mean dependent var | 0.010798 | S.D. dependent var | | 0.007751 |
| Mean of innovations | 0.000101 | S.D. of innovations | | 0.003934 |
| R^2 | 0.741021 | Adjusted R^2 | | 0.739412 |
| Log-likelihood | 670.7222 | Akaike criterion | | -1333.444 |
| Schwarz criterion | -1321.069 | Hannan–Quinn | | -1328.420 |
| | Real | Imaginary | Modulus | 頻度 |
| AR | | | | |
| Root | 1 | 1.0737 | 0.0000 | 1.0737 0.0000 |
| MA | | | | |
| Root | 1 | 3.0834 | 0.0000 | 3.0834 0.0000 |